

# تقدير الحالات و المعاملات الفيزيائية لنظام ديناميكيات الكاحل البشري

د.عزالدين احمد الصغير  
جامعة المرقب، الهندسة الكهربية  
والحاسوب، الخمس، ليبيا  
izziddien@yahoo.de

أ. أسماء محمد السويطي  
جامعة المرقب، تقنية  
المعلومات، الخمس، ليبيا  
asmaeswehli@yahoo.de

حيث سيوضح الجزء الثاني من هذا البحث عملية تحويل النموذج الرياضي لنظام ديناميكيات الكاحل وتمثيل نموذج النظام بنموذج فضاء الحالة. والجزء الثالث من البحث سيوضح عملية تقدير حالات ومعاملات النظام باستخدام مرشح كالمان الممدد (Extended Kalman Filter)، حيث أن في [11] تم استخدام مرشح كالمان الممدد لتقدير القيمة المثالية للمقاومة الميكانيكية للكاحل البشري أثناء الوقوف، بينما في [12] تم استخدامه لتقدير المعاملات الميكانيكية الحيوية لعضلات مفصل الكاحل وفي [13] استخدم لتقدير الحالات و معامل رد الفعل الأرضي لنظام روبوت يحاكي حركة الورك و الفخذ للانسان مع الساق الاصطناعية، و كذلك يوضح الجزء الثالث من هذا البحث استخدام طريقة خطأ التنبؤ التكراري (Recursive Prediction Error) لتقدير حالات و معاملات نظام ديناميكيات الكاحل البشري و ذلك باستخدام مرشح كالمان كمرقب، حيث تعتبر طريقة خطأ التنبؤ التكراري بديلا لمرشح كالمان الممدد و يمكن تطبيقها على نموذج من أي درجة كما في مرشح كالمان الممدد الا أنها أبسط من حيث الاستخدام. وتعتبر كلتا طريقتي التعريف المذكورتان تكراريتان (recursive) و متكيفتان (adaptive)، و لان نظام ديناميكيات الكاحل نظام تكراري (recursive system) تم استخدام الطرق التكرارية المذكورة و تطبيقهما في هذا البحث (online). و سيرعرض الجزء الرابع التجارب الاختبارية و تحليل النتائج، و الجزء الخامس يتضمن الأستنتاج، أما الجزء السادس يتضمن قائمة المراجع المستخدمة في هذا البحث.

## 2. نموذج النظام

اجتذبت التغييرات الداخلية المتأصلة في الحركات البشرية اهتماما متزايدا في بحوث التحكم في المحركات و التحكم الحركي خلال العقود الأربعة الماضية، و لوحظ أن ديناميكيات مسارات الزوايا المشتركة و استراتيجيات تنشيط العضلات ترتبط ارتباطا وثيقا بالدور الوظيفي و القيود الميكانيكية للمفاصل. و في هذا البحث يمثل النموذج الرياضي لنظام ديناميكيات مفصل الكاحل في الشكل 1 التالي العلاقة بين زاوية مفصل الكاحل و عزم الكاحل كمجموع بين جزء خطي و جزء غير خطي حيث يكون دخل النظام  $u$  هو عبارة عن الموقع و الخرج  $y$  يكون حاصل جمع عزم الدوران الجوهري  $F$  و العزم المنعكس (رد الفعل اللارادي)  $R$ .

المخلص— تتناول هذه الورقة التقدير المثالي لحالات و معاملات نظام ديناميكيات الكاحل البشري، حيث تم العمل على النموذج الرياضي لهذا النظام من بعد تحويله و تمثيله بنموذج فضاء الحالة و أخيرا تم استخدام طريقتي التعريف التاليتين للتقدير المثالي لكل حالات و معاملات النظام و المقارنة بين نتائجهما. الطريقة الأولى هي مرشح كالمان الممدد (Extended Kalman Filter) و فيها استخدم مرشح كالمان لتقدير حالات و معاملات النظام في نفس الوقت حيث تم تمديد حالات النظام الى معاملاته و من تم تقديرها كتوابث، و لان بعد التمديد يصبح النظام غير خطي و قابلية المراقبة غير متاحة لهذا توجب تقريب نموذج المراقب الى نظام خطي حول نقاط تشغيل حالات و معاملات النظام المراد مراقبتها. الطريقة الثانية هي طريقة خطأ التنبؤ التكراري (Recursive Prediction Error) و فيها تم استخدام مرشح كالمان كمرقب لحالات النظام بينما معاملات النظام تم تقديرها باستخدام خوارزميات (جاوس- نيوتن) و من ثم ارسالها الى المراقب (مرشح كالمان) و هو بدوره يقدر حالات النظام و يرسلها في نفس الوقت الى خوارزميات (جاوس- نيوتن) و تستمر هذه العملية الى أن يصل مجموع مربع خطأ التقدير الى الحد الأدنى.

الكلمات المفتاحية: ديناميكيات مفصل الكاحل البشري (Human Ankle – Dynamics)، مرشح كالمان (Kalman Filter)، تعريف النظام (System Identification)، تقدير الحالات و المعاملات (State and Parameter Estimation)، طريقة جاوس- نيوتن التكرارية (Recursive Gauss-Newton Method).

## 1. المقدمة

يعتبر تقدير الحالات و المعاملات الفيزيائية مشكلة في الميكترونيكا الحيوية التي تشمل جوانب الحركة و الكشف عن الأشارات الحيوية، و في الميكترونيكا التكميلية و الميكانيكا الحيوية و محاكاتها، و كذلك في التفاعل بين الانسان و الآلة. وركز هذا البحث على مشكلة تقدير الحالات و المعاملات الفيزيائية لديناميكيات الكاحل البشري، حيث تم اعتبار نموذج ديناميكيات الكاحل على أنه نموذج (NARMAX) كما في [1] والذي حددت معاملاته باستخدام (Extended Least-Squares)، و مع أن نموذج (NARMAX) قدم في الزمن المتقطع تنبؤ ممتاز، و لاكن كان ليس من السهل تحويل معاملاته مرة أخرى الى الزمن المستمر، و لهذا تم التعامل مع نظام ديناميكيات الكاحل في هذا العمل على أنه نظام هجين، و الذي تكون فيه ديناميكيات النظام في الزمن المستمر بينما القياس في الزمن المتقطع.

استلمت الورقة بالكامل في 27 أكتوبر 2020 وروجعت في 20 مارس 2021 و قبلت للنشر في 12 أبريل 2021،

ونشرت و متاحة على الشبكة العنكبوتية في 13 أبريل 2021.

ومن ثم تمثيل النموذج الرياضي لنظام ديناميكي الكاحل بنموذج فضاء الحالة، ومنها يكون متجه دخل النظام  $U(t)$  و مصفوفة النظام  $A$  و مصفوفة الدخل  $B$  و مصفوفة الخرج  $C$  و كذلك مصفوفة العبور  $D$  للنموذج الموضح في الشكل 3 السابق كما يلي

$$U(t) = \begin{bmatrix} u_1(t) \\ U_2(t) \end{bmatrix} \quad (1)$$

$$U_2(t) = \begin{bmatrix} 1 \\ u_2(t) \\ u_2^2(t) \end{bmatrix} \quad (2)$$

$$A = \begin{bmatrix} 0 & 1 & 0 & 0 \\ -(a.c) & -(a+c) & 0 & 0 \\ 0 & 0 & 0 & 1 \\ 0 & 0 & -w_n^2 & -2.\xi.w_n \end{bmatrix} \quad (3)$$

$$B = \begin{bmatrix} 0 & 0 & 0 & 0 \\ 1 & 0 & 0 & 0 \\ 0 & 0 & 0 & 0 \\ 0 & b_0 & b_1 & b_2 \end{bmatrix} \quad (4)$$

$$C = [(KI - J(a.c)) \quad (BI - J(a+c)) \quad g.w_n^2 \quad 0] \quad (5)$$

$$D = [J \quad 0 \quad 0 \quad 0] \quad (6)$$

### 3. مرشح كالمان لتقدير حالات و معاملات النظام

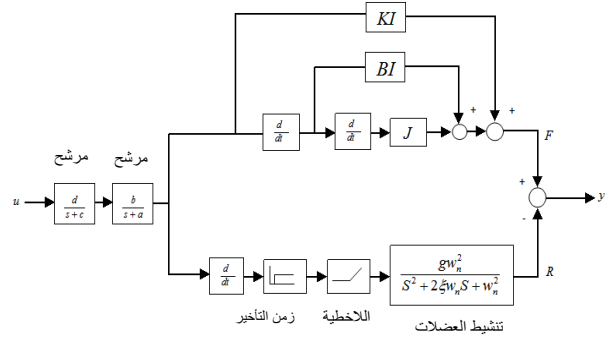
في هذا الجزء من البحث ستوضح الفقرة (أ) بايجاز قابلية المراقبة و تعريف النظام، و تحتوي الفقرة (ب) نبذة مختصرة عن مرشح كالمان الهجين و الية عمله، و الفقرة (ج) ستوضح مرشح كالمان الممدد و هيكلته العامة، أما الفقرة (د) ستوضح باختصار طريقة خطأ التنبؤ التكراري و هيكلته العامة.

#### أ. قابلية المراقبة و تعريف النظام [2]

عادة ما يتم مراقبة حالات أي نظام ميكانيكي عندما تكون متغيرات الحالة الداخلية للنظام غير متاحة أو يكون القياس لمتغيرات الحالة عالي التكلفة. وقبل تصميم أي مراقب أو مرشح كالمان يجب أن يكون النظام قابل للمراقبة بالكامل، ولهذا نتطرق في هذا البحث لمعرفة قابلية المراقبة لنظام ديناميكي الكاحل حسب معايير كالمان، وهو أن النظام يكون قابل للمراقبة عندما يكون محدد مصفوفة المراقبة لا يساوي صفر كالتالي،

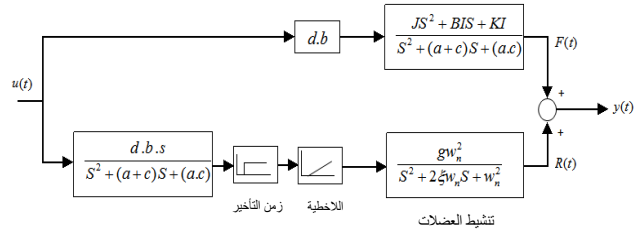
$$\varphi\beta = \det \begin{bmatrix} C \\ C.A \\ C.A^2 \\ \vdots \\ C.A^{n-1} \end{bmatrix} \neq 0 \quad (7)$$

بينما لتعريف معاملات أي نظام ميكانيكي يجب أن تكون معاملات نموذج النظام قابلة للتعريف و ذلك بأن تكون القيم المقدرة لمعاملات نموذج النظام تقترب من قيم معاملات النظام الأصلي و هذا يعني



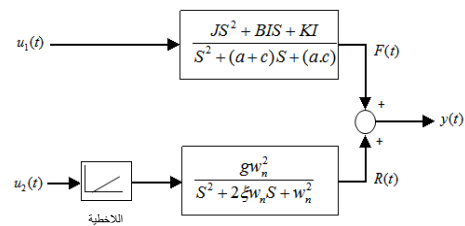
شكل 1. نموذج نظام ديناميكي الكاحل البشري

حيث يمثل الجزء العلوي الخطي في النموذج الصلابة الجوهرية و التي تعتبر المكون الخاص لديناميكي الكاحل و الذي تكون معاملاته هي (القصور الذاتي  $J$  و اللزوجة  $BI$  و المرونة  $KI$ )، بينما الجزء السفلي الغير خطي يمثل الصلابة اللاإدوية و التي تتكون من مفاصل و زمن التأخير و اللاخطية الثابتة و كذلك التنشيط العضلي لديناميكي الكاحل و الذي تكون معاملاته ( معامل التكبير  $g$  و التردد الطبيعي  $w_n$  و التخميد  $\xi$  ) [1]. وفي هذا البحث تم تحويل النموذج الرياضي في الشكل 1 السابق كالتالي وذلك لتجنب التفاضلات.



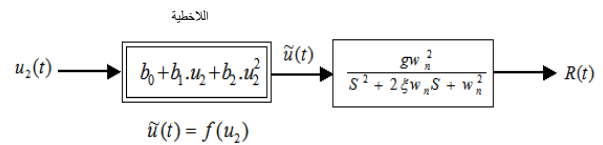
شكل 2. نموذج نظام ديناميكي الكاحل بعد التحويل

ومع افتراض أن زمن التأخير معلوم و اللاخطية معلومة تم اعتبار أن نموذج النظام بدخيلين و خرج واحد كما هو موضح في الشكل 3 التالي،



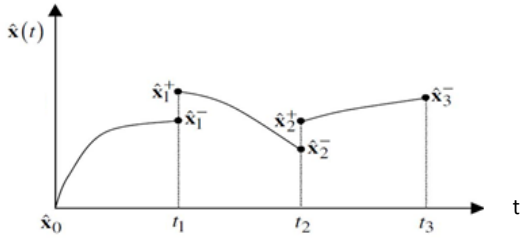
شكل 3. نموذج النظام بدخيلين و خرج واحد

والجزء السفلي للنموذج في الشكل 3 السابق تم التعامل معه كنموذج هامرشتاين الموضح في الشكل 4 التالي،



شكل 4. تمثيل نموذج هامرشتاين

القياس قبل التحديث و (  $\hat{x}_1^+$  ,  $\hat{x}_2^+$  ,  $\hat{x}_3^+$  , ... ) تمثل قيم الحالات المقدره عند نقاط القياس بعد التحديث.



شكل 6 . الية عمل مرشح كالمان الهجين

ج . مرشح كالمان الممدد (Extended Kalman Filter)

مرشح كالمان يتم تمديده لتقدير معاملات ديناميكيات النظام، حيث أن مرشح كالمان الخطي يتحول بعد التمديد الى مراقب غير خطي و مع هذا فان مرشح كالمان الممدد ينفذ معادلات مرشح كالمان القياسية لديناميكيات النظام الناتجة من تحويل ديناميكيات المراقب الغير الخطية الى خطية عند نقاط تشغيل الحالات و المعاملات المراد مراقبتها و الذي يكون موضح بالتفصيل في [5]، [6]، [7]. وعندما تكون معادلات النظام كالتالي

$$\dot{x}(t) = A(\theta).x(t) + B(\theta).u(t) + n(t) \quad (13)$$

$$y(t_k) = C(\theta).x(t_k) + v(t_k) \quad (14)$$

و  $x(t)$  يمثل متجه حالات النظام و  $\theta(t)$  يمثل متجه معاملات النظام، فإنه يتم تمديد متجه حالات النظام الى معاملاته كما هو موضح في المعادلة التالية

$$X(t) = \begin{bmatrix} x(t) \\ \theta(t) \end{bmatrix} \quad (15)$$

ومنها يصبح المراقب بعد التمديد غير خطي وتكون معادلاته كما يلي

$$\begin{bmatrix} \dot{x}(t) \\ \dot{\theta}(t) \end{bmatrix} = \begin{bmatrix} f(x(t), \hat{\theta}(t), u(t)) \\ 0 \end{bmatrix} + \begin{bmatrix} n(t) \\ 0 \end{bmatrix} \quad (16)$$

$$y_k = h(x(t_k)) + v_k \quad (17)$$

حيث  $\hat{\theta}(t)$  في المعادلة (16) السابقة تمثل القيمة المقدره لمعاملات النظام. وعند تمديد حالات نظام ديناميكيات الكاحل البشري المبينة في المعادلة (18) التالية الى معاملاته المبينة في المعادلة (19) التالية، يتكون نظام غير خطي كما هو موضح في المعادلات (20) و (22) التالية

$$x(t) = \begin{bmatrix} x_1(t) \\ x_2(t) \\ x_3(t) \\ x_4(t) \end{bmatrix} \quad (18)$$

$$\lim_{N \rightarrow \infty} \{\hat{\theta}(N)\} = \theta_0 \quad (8)$$

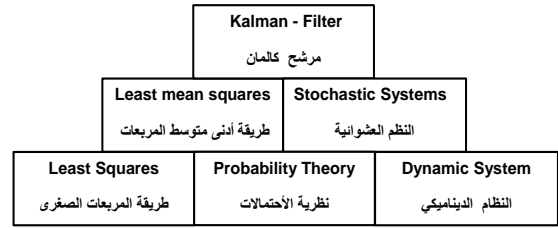
$$\lim_{N \rightarrow \infty} cov[\Delta\theta] = 0 \quad (9)$$

$$\Delta\theta = (\theta_0 - \hat{\theta}) \quad (10)$$

حيث  $\theta_0$  تمثل قيم معاملات النظام الاصلى و  $\hat{\theta}(N)$  القيم المقدره لمعاملات نموذج النظام و  $N$  تمثل عدد مرات القياس للخروج و cov رمز لعملية التغاير. و في هذا البحث تم اختبار قابلية المراقبة و قابلية التعريف لنظام ديناميكيات الكاحل و تم التأكد من أن النظام قابل للمراقبة و كذلك قابل للتعريف.

ب . مرشح كالمان الهجين (Hybrid Kalman Filter)

مرشح كالمان هو مجموعة من المعادلات الرياضية التي توفر بكفاءة حسابات لتقدير حالات النظم المتأثر بضوضاء القياس البيضاء الجاوسية (Gaussian Noise) بطريقة يقل فيها مربع خطأ التقدير الى الحد الأدنى، وعادة ما يستخدم مرشح كالمان لمراقبة الأنظمة التي تلازمها اضطرابات عشوائية (Stochastic Disturbance)، و المخطط الهرمي في الشكل 5 التالي يوضح المفاهيم الأساسية التي يبني عليها مرشح كالمان بوجه عام .



الشكل 5 . المخطط الهرمي للمفاهيم التي يبني عليها مرشح كالمان

في هذا البحث تم استخدام مرشح كالمان الهجين في كلتا طريقتي التعريف المستخدمة والذي يكون موضح بالتفصيل في [3]، [4]، حيث أن مرشح كالمان الهجين يستخدم عندما تكون ديناميكيات النظام و كذلك ضوضاء النظام في الزمن المستمر، بينما القياس و كذلك تشويش القياس تكون في الزمن المتقطع كالتالي

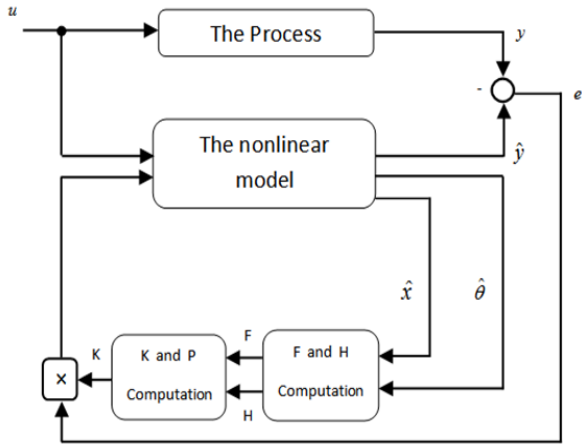
$$\frac{d}{dt}x(t) = A.x(t) + B.u(t) + n(t) \quad (11)$$

$$y_k = C_k.x(t_k) + D_k.u(t_k) + v_k \quad (12)$$

بحيث

$$n(t) \approx (0, Q) \quad v_k \approx (0, R_k)$$

وتمثل  $n(t)$  ضوضاء النظام و  $v_k$  ضوضاء القياس و  $Q$  مصفوفة التغاير لضوضاء النظام بينما  $R_k$  تمثل مصفوفة التغاير لتشويش القياس. والية عمل مرشح كالمان الهجين في الشكل 6 التالي توضح أن عملية تقدير حالات النظام تكون في الزمن المستمر و القياس يكون في الزمن المتقطع، حيث أن عند كل نقطة قياس (  $t_1, t_2, t_3, \dots$  ) تكون هناك عملية تحديث لقيم الحالات المقدره والتي تكون نقطة البداية لتقدير الحالات التي تليها حيث أن (  $\hat{x}_1^-, \hat{x}_2^-, \hat{x}_3^-, \dots$  ) تمثل الحالات المقدره عند نقاط



شكل 7 . الهيكلية العامة لمرشح كالمان الممدد

$$\theta(t) = \begin{bmatrix} \theta_1(t) \\ \theta_2(t) \\ \theta_3(t) \\ \theta_4(t) \\ \theta_5(t) \\ \theta_6(t) \end{bmatrix} = \begin{bmatrix} KI \\ J \\ BI \\ W_n^2 \\ 2\xi W_n \\ gW_n^2 \end{bmatrix} = \begin{bmatrix} x_5(t) \\ x_6(t) \\ x_7(t) \\ x_8(t) \\ x_9(t) \\ x_{10}(t) \end{bmatrix} \quad (19)$$

$$f(X(t), U(t)) = \begin{bmatrix} \dot{x}_1 \\ \dot{x}_2 \\ \dot{x}_3 \\ \dot{x}_4 \\ \dot{x}_5 \\ \dot{x}_6 \\ \dot{x}_7 \\ \dot{x}_8 \\ \dot{x}_9 \\ \dot{x}_{10} \end{bmatrix} = \begin{bmatrix} x_2 \\ -s_1x_1 - s_2x_2 + u_1 \\ x_4 \\ -x_8x_3 - x_9x_4 + x_{10}u_2 \\ 0 \\ 0 \\ 0 \\ 0 \\ 0 \\ 0 \end{bmatrix} \quad (20)$$

ولأن خرج النظام يكون كالتالي

د. طريقة خطأ التنبؤ التكراري (Recursive Prediction Error)

في هذه الطريقة يتم الحصول على القيم المثالية لمعاملات المراقب بحيث يصبح مجموع مربع خطأ التقدير بين خرجي نموذج النظام  $y(t_k)$  و المراقب  $\hat{y}(t_k, \theta)$  أقل ما يمكن، أي أن قيمة معامل الجودة  $J(\theta)$  تصل إلى أقل ما يمكن كما يلي،

$$J(\theta) = \frac{1}{N} \sum_{t=1}^N e_{pe}^2(t, \theta) \quad (27)$$

$$J(\theta) \rightarrow \min \quad (28)$$

$$E\{e_{pe}^T(\theta)e_{pe}(\theta)\} = 0 \quad (29)$$

حيث يكون حساب خطأ التقدير كالتالي

$$e_{pe}(t, \theta) = y(t_k) - \hat{y}(t_k, \theta) \quad (30)$$

ويتم تقدير حالات النظام من قبل المراقب (مرشح كالمان الهجين) بينما معاملات النظام يتم تقديرها باستخدام إحدى خوارزميات التحسين المثالية، وفي هذا البحث تم استخدام خوارزمية جاوس- نيوتن التكرارية، حيث مكبر كالمان K يقدر كقيمة ثابتة بواسطة خوارزمية جاوس- نيوتن و من ثم ترسل قيمته مع القيم المقدره للمعاملات في كل لحظة قياس الى المرشح وتستمر هذه العملية حتى وصول مجموع مربع خطأ التقدير الى الحد الأدنى، والشكل 8 التالي يوضح الهيكلية العامة لهذه الطريقة والتي تكون موضحة بالتفصيل في [8] [9].

$$y(t_k) = F(t_k) + R(t_k) \quad (21)$$

فأنه بعد التمديد يكون

$$y_k = (x_5 - x_6s_1)x_1 + (BI - Js_2)x_2 + x_{10}x_3 + x_6u_1 \quad (22)$$

ويتم حساب قيمة مكبر كالمان K بحيث يتم تحويل النظام من غير خطي الى خطي حول نقاط تشغيل الحالات و المعاملات المراد مراقبتها، و منها تتكون مصفوفة النظام F و مصفوفة الخرج H و مصفوفة التغيرات لضوضاء النظام L و كذلك مصفوفة التغيرات لتشويش القياس M و كل هذه المصفوفات تكون خطية و متغيرة مع الزمن و التي تمثل مصفوفات يعقوبي التالية

$$H = \frac{\partial h}{\partial X^T} \Big|_{\hat{x}} \quad (23)$$

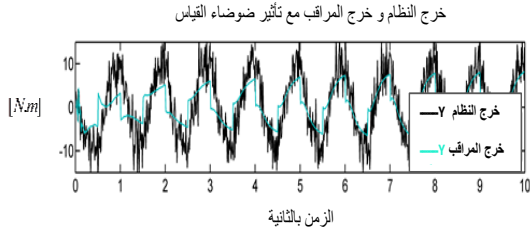
$$M = \frac{\partial h}{\partial v} \Big|_{\hat{x}} \quad (24)$$

$$F = \frac{\partial f}{\partial X^T} \Big|_{\hat{x}} \quad (25)$$

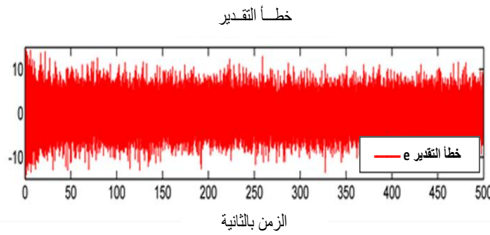
$$L = \frac{\partial f}{\partial n} \Big|_{\hat{x}} \quad (26)$$

و يوضح شكل 7 التالي الهيكلية العامة لالية عمل مرشح كالمان الممدد حيث أن  $y$  تمثل خرج النظام و  $\hat{y}$  خرج المراقب و  $e$  تمثل خطأ التقدير بينما  $\hat{x}$  تمثل القيمة المقدره لحالات النظام و  $\hat{\theta}$  تمثل القيمة المقدره لمعاملات النظام.

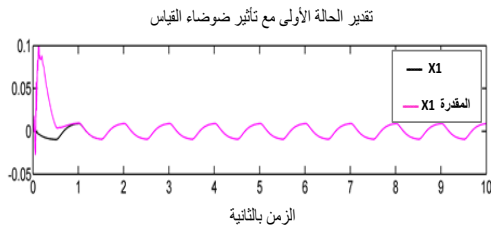
من الواضح في الشكل 11 التالي أن خرج المراقب يحاول تتبع خرج نموذج النظام وفي الشكل 12 أن خطأ التقدير كبير نوعاً ما، ومن الشكل 13 و الشكل 14 التاليين نلاحظ أن الحالة الأولى وكذلك الحالة الثانية لنظام ديناميكيات الكاحل تم تقديرها بالشكل الأمثل خلال الثانية الأولى للتشغيل، ومن الشكل 15 و الشكل 16 نلاحظ أن حالات النظام الثالثة والرابعة تم تقديرها بشكل قريب جداً من قيمها الحقيقية، حيث تم ذلك خلال جزء بسيط من الثانية الأولى للتشغيل.



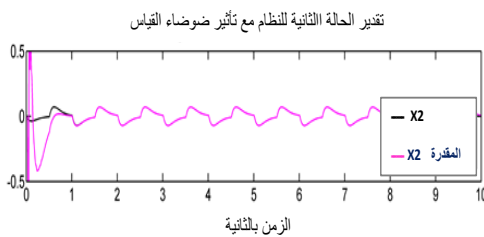
شكل 11 . يوضح خرج النظام و خرج المراقب مع تأثير ضوضاء القياس



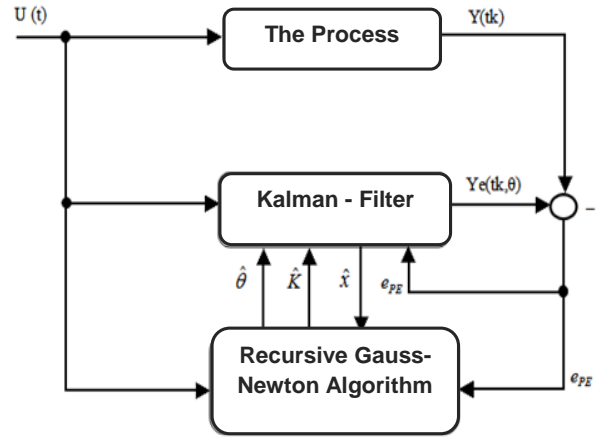
شكل 12. يوضح خطأ التقدير مع تأثير ضوضاء القياس



شكل 13 . يوضح تقدير الحالة الأولى للنظام مع تأثير ضوضاء القياس



شكل 14 . يوضح تقدير الحالة الثانية للنظام مع تأثير ضوضاء القياس



شكل 8 . الهيكلية العامة لطريقة خطأ التنبؤ التكراري

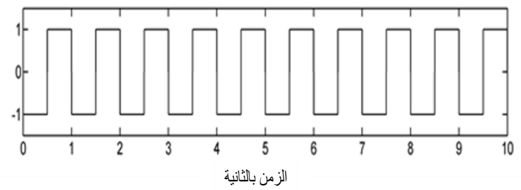
#### 4 . التجارب الإختبارية وتحليل النتائج

في هذا البحث تم تطبيق طريقتي التعريف التاليين باستخدام برنامج (MATLAB SIMULINK) وذلك لتقدير الحالات والمعاملات الفيزيائية لنظام ديناميكيات الكاحل البشري، الطريقة الأولى هي مرشح كالمان الممدد (Extended Kalman Filter)، أما الطريقة الثانية فهي طريقة خطأ التنبؤ التكراري (Recursive Prediction Error) باستخدام مرشح كالمان الهجين كمرقب لحالات النظام و باستخدام خوارزمية التحسين المثالية (جاوس- نيوتن).

أ . نتائج تطبيق مرشح كالمان الهجين الممدد على نظام ديناميكيات الكاحل

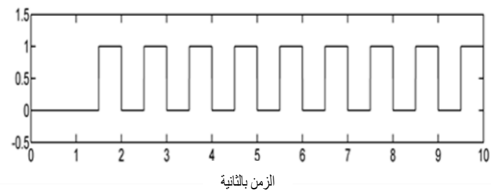
عند تطبيق مرشح كالمان الممدد على نظام ديناميكيات الكاحل تم استخدام إشارة الدخل الموضحة في الشكل 9 لزاوية الكاحل أما إشارة الدخل لتنشيط العضلات هي نفس إشارة الدخل لزاوية الكاحل و لاكن تكون متأثره بزمّن التأخير المعلوم كما في الشكل 10 و من تم باللاخطية المعلومة مسبقاً.

إشارة الدخل

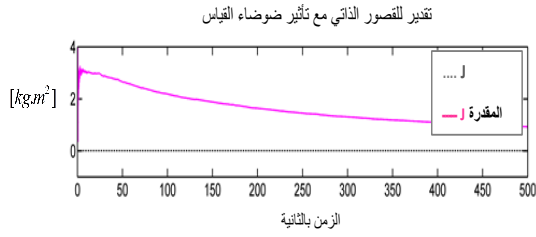


الشكل 9 إشارة الدخل لزاوية الكاحل

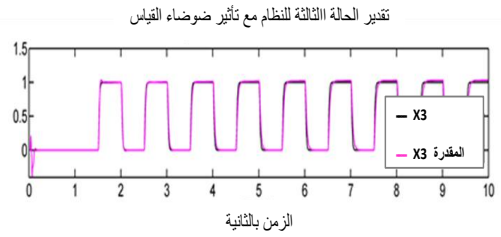
إشارة الدخل لتنشيط العضلات متأثرة بزمّن التأخير



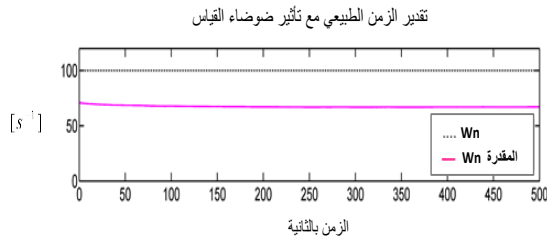
الشكل 10 . إشارة الدخل متأثرة بزمّن التأخير



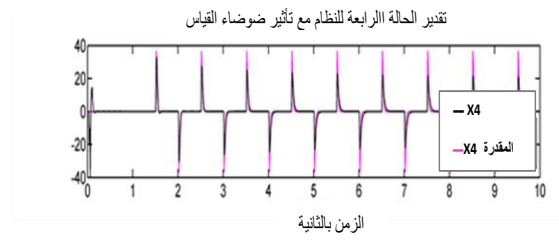
الشكل 19 . يوضح تقدير القصور الذاتي مع تأثير ضوضاء القياس



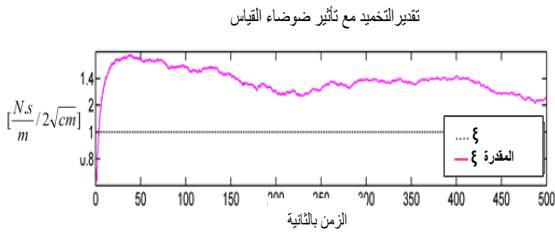
شكل 15 . يوضح تقدير الحالة الثالثة للنظام مع تأثير ضوضاء القياس



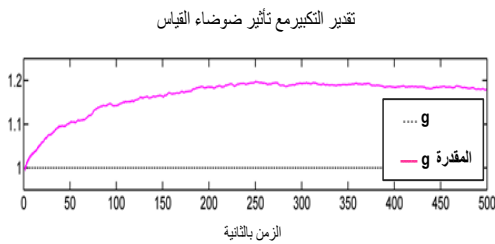
الشكل 20 . يوضح تقدير الزمن الطبيعي مع تأثير ضوضاء القياس



شكل 16 . يوضح تقدير الحالة الرابعة للنظام مع تأثير ضوضاء القياس



الشكل 21 . يوضح التخميد مع تأثير ضوضاء القياس

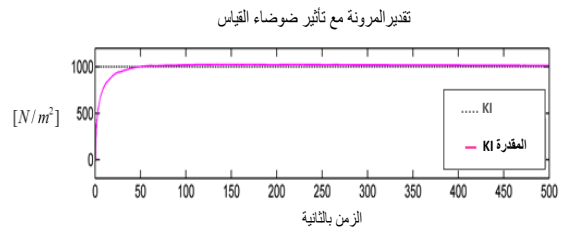


الشكل 22 . يوضح تقدير التكبير مع تأثير ضوضاء القياس

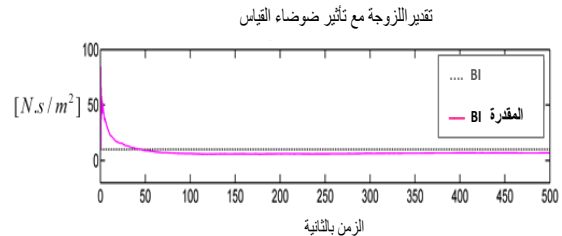
ب . نتائج تطبيق طريقة خطأ التنبؤ التكراري على نظام ديناميكي الكاحل

عند تطبيق هذه الطريقة على نظام ديناميكي الكاحل تم استخدام إشارة الدخل الموضحة في الشكل 23 لزواية الكاحل أما إشارة الدخل لتنشيط العضلات هي نفس إشارة الدخل لزواية الكاحل ولاكن تكون متأثره بزمن التأخير المعلوم كما في الشكل 24 و من تم باللاخطية المعلومة مسبقا.

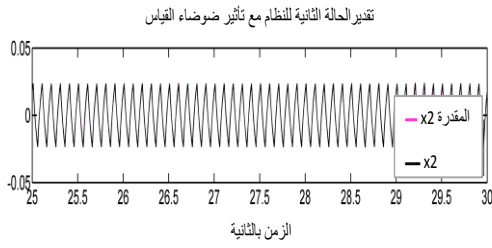
والشكل 17 التالي يوضح أن القيمة المقدرة للمرونة تقترب الى قيمة قريبة جدا من قيمتها الحقيقية خلال 50 ثانية الأولى من التشغيل، أما القيمة المقدرة للزوجة تقترب نوعا ما من قيمتها الحقيقية خلال 40 ثانية الأولى للتشغيل كما هو واضح في الشكل 18، بينما القيم المقدرة للقصور الذاتي و للزمن الطبيعي و التخميد و كذلك التكبير تبعد عن قيمها الحقيقية في نموذج النظام الأصلي كما هو واضح في الشكل 19 والشكل 20 و الشكل 21 و الشكل 22 التالية.



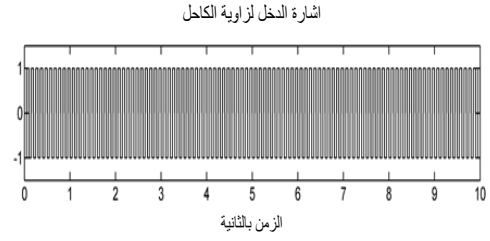
الشكل 17 . يوضح تقدير المرونة مع تأثير ضوضاء القياس



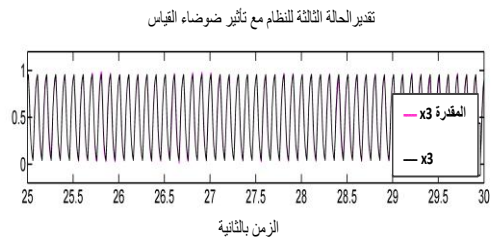
الشكل 18 . يوضح تقدير اللزوجة مع تأثير ضوضاء القياس



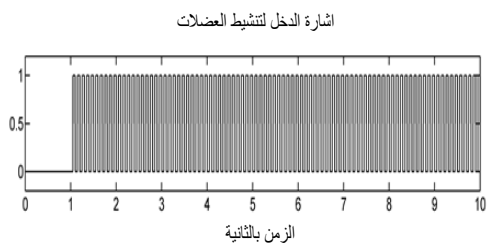
الشكل 28 . يوضح الحالة الثانية مع تأثير الضوء



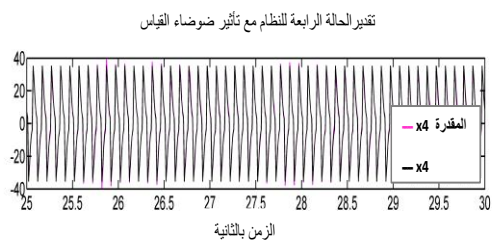
الشكل 23 . يوضح إشارة الدخل لزاوية الكاحل



الشكل 29 . يوضح الحالة الثالثة مع تأثير الضوء

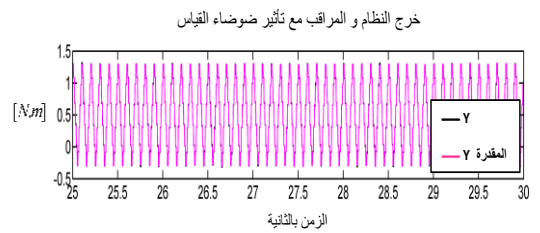


الشكل 24 . يوضح إشارة الدخل لتنشيط العضلات



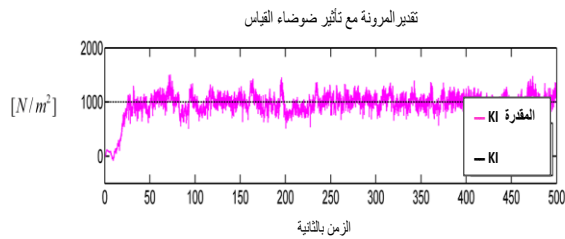
الشكل 30 . يوضح الحالة الرابعة مع تأثير الضوء

من الواضح في شكل 25 التالي أن خرج المراقب يطابق خرج نموذج النظام وفي الشكل 26 أن خطأ التقدير قريب جدا من الصفر و منها نتوقع أن عملية مراقبة حالات النظام و كذلك تعريف معاملات النظام تمت بالشكل الأمثل، ومن الشكل 27 و 28 و 29 و 30 نلاحظ أن جميع حالات نظام ديناميكيات الكاحل تم تقديرها بالشكل الأمثل مند بداية التشغيل.

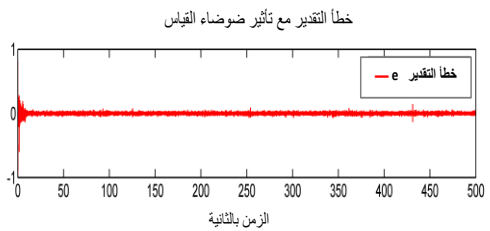


الشكل 25 . يوضح خرج النظام والمراقب مع تأثير الضوء

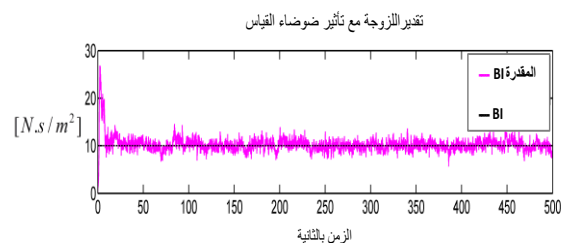
ومن الأشكال 31 الى 36 التاليه يتضح أن القيمة المقدرة للمرونة و اللزوجة و للقصور الذاتي والتردد الطبيعي و كذلك القيم المقدرة للتخميد و التكبير وصلت لقيمتها الحقيقية في زمن أقل من خمسين ثانية مند بداية التشغيل.



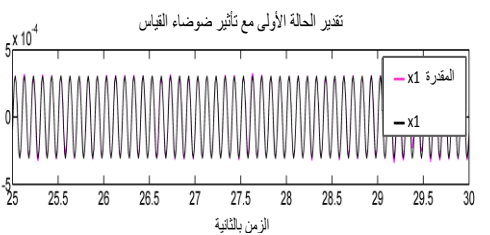
الشكل 31 . يوضح تقدير المرونة مع تأثير ضوء القياس



الشكل 26 . يوضح خطأ التقدير مع تأثير الضوء



الشكل 32 . يوضح تقدير اللزوجة مع تأثير ضوء القياس



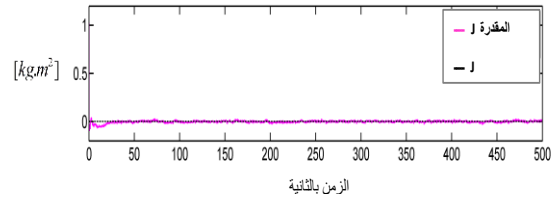
الشكل 27 . يوضح الحالة الأولى مع تأثير الضوء

لتصل الخوارزميات لنتائج مضمونة، و من هذا نستنتج أن هذه الطريقة تعمل بشكل جيد و وصلت لحل مشكلة التقدير المثالي لحالات و كذلك المعاملات الفيزيائية لنظام ديناميكيات الكاحل البشري.

## 6 . المراجع

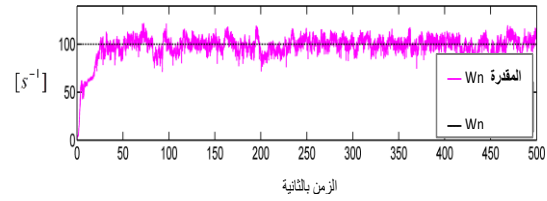
- [1] Kukreja S, Galiana H and Kearney R (2003): NARMAX Representation and Identification of Ankle Dynamics. IEEE Transactions on Biomedical Engineering, Vol. 50, NO. 1, January, S. 70 - 81.
- [2] Isermann R (1992): (Identifikation dynamischer Systeme 1 (Grundlegende Methoden)). 2. Auflage, Verlag Berlin /Heidelberg: Springer. S. 289-190, 220, 236.
- [3] Simon D (2006): (optimal State Estimation) (Kalman, and nonlinear Approaches). Copyright by John Wiley & Sons, Inc, S.403 - 405.
- [4] Crassidis J and Junkins J (2004): (Optimal estimation of dynamic Systems). CRC Press LLC, S. 283-285.
- [5] Ljung L (1979): Asymptotic behavior of extended Kalman filter as a paramer estimator for linear systems, IEEE, Vol. AC-24, No. 1 S. 36-50.
- [6] Grewal M, Andrews A (2001): (Kalman Filtering (Theory and Practice using Matlab)). Second Edition, Copyright by John Wiley & Sons, Inc. Robert F.
- [7] Stengel R (1994): (Optimal control and estimation). Dover publications, INC. New York. Copyright. S. 393.
- [8] Moore J and Weiss H (1979): Recursive Prediction Error Methods for Adaptive Estimation. IEEE, vol. SMC-9, No. 4, S. 197 - 205.C.
- [9] Bohn C (2000): Recursive Parameter Estimation for Nonlinear Continuous Time Systems through Sensitivity-Model Based Adaptive Filters. Dissertation, Pro BUSINESS GmbH.
- [10] Gavel D and Azevedo S (1982): Identification of continuous time Systems - An Application of Ljung's - Corrected extended Kalman Filter. IFAC Identification and System Parameter Estimation , Washington D.C. ,USA, S. 1329 -1333. extended Kalman Filter. IFAC Identification and System Parameter Estimation , Washington D.C. ,USA (1982) , S. 1329 -1333.
- [11] Coronado E, González A, Cárdenas A, Maya M, Chiovetto E and Piovesan D (2021): Self-Tuning Extended Kalman Filter Parameters to Identify Ankle's Third-Order Mechanics. Journal of Biomechanical Engineering, Vol. 143, Issue 3, March.
- [12] Coronado L, Romero R, Maya M, Cardenas A and Piovesan D (2016): Combining Genetic Algorithms and Extended Kalman Filter to Estimate Ankle's Muscle-Tendon Parameters. Dynamic System and Control Conference, Volume Subject Area: Bio Engineering Applications, January.
- [13] Fakoorian S, Azimi V, Moosavi M, Richter H and Simon D (2017): Ground Reaction Force Estimation in Prosthetic Legs with Nonlinear Kalman Filtering Methods. Journal of Dynamic Systems, Measurement and Control, Vol. 139, Issue 11, November.

تقدير القصور الذاتي مع تأثير ضوضاء القياس



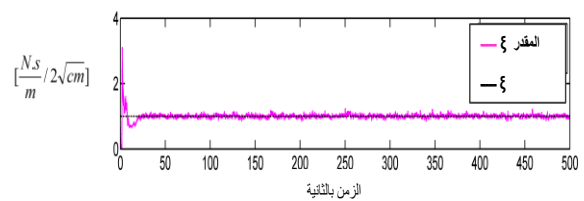
الشكل 33 . يوضح تقدير القصور الذاتي مع تأثير ضوضاء القياس

تقدير الزمن الطبيعي مع تأثير ضوضاء القياس



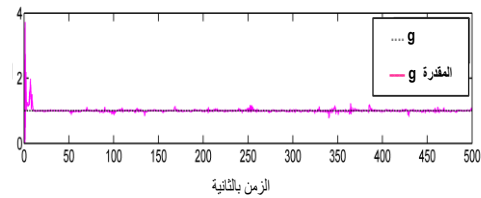
الشكل 34 . يوضح تقدير الزمن الطبيعي مع تأثير ضوضاء القياس

تقدير التخمد مع تأثير ضوضاء القياس



الشكل 35 . يوضح تقدير التخمد مع تأثير ضوضاء القياس

تقدير معامل التكبير مع تأثير ضوضاء القياس



الشكل 36 . يوضح تقدير معامل التكبير مع تأثير ضوضاء القياس

## 5 . الاستنتاج

من التجارب الأختبارية لمرشح كالمان الممدد على النموذج الرياضي لنظام ديناميكيات الكاحل البشري نستطيع استنتاج أن مرشح كالمان يعتبر مراقب جيد لحالات النظام المتأثر بوضواء القياس، و نلاحظ أنه ليس هناك ضمان لحل مشكلة التقدير المثالي لقيم معاملات النظام، حيث أنه من المتوقع أن هذا له علاقة رئيسية بهيكلية النموذج الرياضي للنظام الأصلي. و من التجارب الأختبارية لطريقة خطأ التنبؤ التكراري باستخدام مرشح كالمان الهجين كمراقب و خوارزميات التحسين المثالية (جاوس- نيوتن التكرارية) نستطيع استنتاج أن هذه الطريقة تعمل بشكل جيد عند استخدام خوارزميات (جاوس- نيوتن) مع معامل النسيان ( Forgetting- Factor = 0.95 ) حيث تصل جميع الحالات وكذلك المعاملات الفيزيائية للنظام الى القيم المثالية خلال 25 ثانية منذ بداية التشغيل و نلاحظ كما في [10] أنه يجب أن تكون الضوضاء صغيرة بالنسبة للإشارة المقاسة